Double-slope-assisted BOCDR の動作シミュレーション

Simulation on double-slope-assisted Brillouin optical correlation-domain reflectometry

〇鈴木 之大 1、捧 治紀 1、野田 康平 23、中村 健太郎 2、水野 洋輔 3、李 ひよん 1 ¹芝浦工業大学 理工学研究科 ²東京工業大学 未来産業技術研 ³横浜国立大学 工学研究院

OYukihiro Suzuki¹, Haruki Sasage¹, Kohei Noda^{2,3}, Kentaro Nakamura², Yosuke Mizuno³, and Heeyoung Lee¹ ¹ Shibaura Institute of Technology ² Tokyo Institute of Technology ³ Yokohama National University E-mails: af19010@shibaura-it.ac.jp, hylee@shibaura-it.ac.jp

1. はじめに

インフラの老朽化が社会問題となっており、建物などの構造欠陥を監視するためのセンシング技術として分布型光フ アイバセンサに注目が集まっている。特に、 光ファイバ中の ブリルアン散乱を用いた、歪や温度を定量的に測れる分布測定技術が盛んに研究されている。我々はその中でも、光波の相関制御に基づき位置分解を行う「ブリルアン光相関領域反射計(POCDR)」を研究対象にしている「利」POCDRでは、N 射計 (BOCDR)」を研究対象にしている[1]。BOCDR では、レーザに施した正弦波変調の変調周波数に対応した測定ファイバ内の特定位置からの散乱光のみが選択的に抽出でき、この変調周波数を制御することで分布測定を実現する。すなか ち、測定ファイバの各位置におけるブリルアン利得スペクトル (BGS) の分布を取得することで、歪や温度の情報に読み替え可能なブリルアン周波数シフト (BFS) の分布が得られ る。基本系では、電気スペクトルアナライザ (ESA) の周波数掃引機能を用いて BGS を取得するが、ESA の周波数掃引は比 較的低速であるため、高速動作が困難であった。

この問題を解決すべく、位相検波 BOCDR[2]と傾斜利用 (Slope-assisted; SA-) BOCDR[3]が提案された。中でも、傾斜利用 BOCDR は、ESA のゼロスパン機能を用いて、BGS の 左側傾斜部における特定周波数のパワー変動を BFS に対応付けることで動作する。これにより、測定ファイバの各測定箇所における BGS 全体の取得が不要となり (ESA の周波数掃引が撤廃され)、リアルタイム動作が可能となる。他にも、超理論空間分解能効果[4]や測定ファイバの人は、超短過程 能[5]であることなどのメリットを有する。しかし、傾斜利用 BOCDR は特定周波数のパワーのみに基づき測定を行うため、 測定ファイバ中に光損失が生じた場合、歪や温度の測定に大 きな影響を受ける。これまでに、低曲げ損失ファイバを用いて光損失の影響を緩和することに成功したが[6]、曲げ損失以外の光損失に対しては未だこの問題は解決できていなかっ た。そこで我々は最近、曲げ損失以外のあらゆる光損失にも 影響を受けない新方式「両側傾斜利用 (Double-slopeassisted; DSA-) BOCDR」を提案した[7]。しかし、基本動作は 実験的に確認できているものの、動作シミュレーションは未 実施であった。

そこで本稿では、DSA-BOCDR の動作シミュレーションを 行い、実験結果との対比を行ったので報告する。

方法

提案する両側傾斜利用 BOCDR に歪および損失が印加されたときのシミュレーションを行った。まず、FUT から戻ってくる BGS の形状は、ローレンツ関数を用いて近似した(高さか0~1になるよう標準によった。このした、半値と増えています。 ク周波数をそれぞれ 30 MHz, 10.81 GHz とした(半値全幅は 典型値、中心周波数は後述の実験値を参考にした)。

BGS上の2周波数選択パターンは、次の3通りとした 10.77, 10.85 GHz, (B) 10.78, 10.84 GHz, (C) 10.80, 10.88 GHz (Fig. 1)。(A), (B)は同じパワーを有する組み合わせである。 一方、(C)は異なるパワーの組み合わせである。先述のローレ ンツ曲線と2周波数の組み合わせを用いて歪印加時、損失印 加時の BGS 上の 2 周波数におけるパワー比の変化をシミュ -ションした。印加する歪は 0 ~ 0.2%、損失は 0 ~ 10 dB とした。

Fig. 2(a)に、歪印加時の結果を示す。横軸は印加した歪の大きさを表している。縦軸は印加された歪の大きさに対する 3パターンの2周波数のパワー比を表している。つまり、右側周波数パワーから左側周波数パワーを引いて計算する。波 形の色ごとで青が(A), 緑が(B), 赤が(C)に対応している(Fig. 1 中の色に対応)。また、パワー比の傾きが感度、変曲点がダイナミックレンジ(正しい歪が検知可能な範囲)に対応して いる。このシミュレーション結果から(A), (B), (C)すべての組み合わせでのパワー比が変動していることが分かる。また、ダイナミックレンジが(A), (B), (C)それぞれで 0.08, 0.06, 0.14%

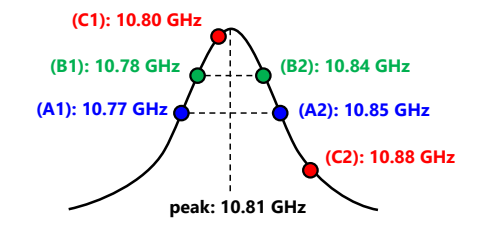


Fig. 1. Schematic of power-measured frequency pairs.

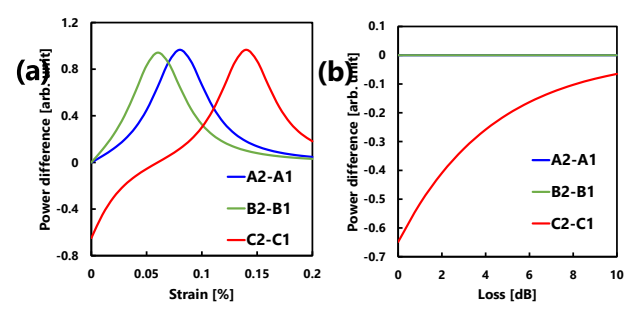


Fig. 2. Simulated power ratios plotted as functions of (a) strain and (b) loss.

となっており、異なるパワーを有する周波数パターンが最も 大きいダイナミックレンジを有することが明らかになった。 次に、損失印加時のシミュレーション結果を **Fig. 2(b)**に示 では、損失印加時のシミュレーション結果を Fig. 2(b)に示す。横軸は印加した損失の大きさを表している。縦軸は印加された損失の大きさに対する 3 パターンの 2 周波数のパワー比を表している。歪のときと同様で、波形の色ごとに青が(A),緑が(B),赤が(C)に対応している。この結果から、同じパワーを有する(A),(B)のパワー比はまる(C)のパワーとは特性が増える。 ア のほか、異なるパワーを有する(C)のパワー比は損失が増えるにつれ増加していることが分かる。これにより、(A),(B)のような同じパワーを有する2周波数を選択すれば、損失の影響

以上の結果は、前回の報告[7]と定性的に一致しているが、 定量性には課題が残る。そこで、本シミュレーションの改善点について考察する。今回は、FUT 全長から戻る BGS に対する 30 MHz を BGS の帯域幅として採用した。これは時間領域 る30 MHZ を BGS の 「「場幅として採用した。これは時間領域 法を用いる「ブリルアン光時間領域反射計」では概ね正しいが、光周波数を変調する BOCDR では大幅に広がることが分かっており、これを考慮して BGS モデルを再現するべきである。また、BOCDR 測定系では、測定位置に空間分解能程度の幅を有する相関ピークを揺野の影響により、周波数方向に対したけるは引きない。「高波数方向に対したノイズフロア(富士山型ノイズフロアとも呼ばれる)が発生する「81」このレイズフロアと制定位置に印加された否 が発生する[8]。このノイズフロアは測定位置に印加された歪 の挙動を評価する必要がある。

を除去できるといえる

- [1] Y. Mizuno et al., Opt. Express 16, 12148 (2008).
 [2] Y. Mizuno et al., Light: Sci. Appl. 5, e16184 (2016).
 [3] H. Lee et al., IEEE Photon. J. 8, 6802807 (2016).
- [4] H. Lee et al., Opt. Express 24, 29190 (2016)
- [**5**] H. Lee et al., Appl. Phys. Express **11**, 072501 (2018). [**6**] H. Lee et al., Sci. Rep. **8**, 7844 (2018). [**7**] 鈴木 他, 2022 秋応物, 21p-A406-9.
- [8] K. Y. Song et al., J. Lightwave Technol. 25, 1238 (2007).